

# Implementación HW/SW de Arquitecturas de Clasificación de Paquetes en Lógica Reconfigurable

Luis Roberto Romano,      Jairo Nicolás Trad

Universidad Nacional de Córdoba

# Índice general

<b>1. Introducción</b>	<b>1</b>
<b>2. Sistema</b>	<b>2</b>
2.1. Sistemas Embebidos y Dispositivos Lógicos programables . .	2
2.1.1. Dispositivos Lógicos Programables . . . . .	3
2.1.2. Sistemas embebidos en Logica Reprogramable . . . . .	4
2.2. Redes de Computadoras . . . . .	4
2.2.1. Modelo OSI . . . . .	4
2.2.2. TCP/IP . . . . .	7
2.2.3. Ethernet . . . . .	8
2.2.4. Protocolo IP . . . . .	9
2.2.5. Búsqueda del prefijo más largo . . . . .	13
<b>3. Arquitectura</b>	<b>16</b>
3.1. Parte HW . . . . .	16
3.1.1. Componentes del sistema . . . . .	16
3.1.2. Módulo extractor de cabeceras . . . . .	17
3.2. Parte SW . . . . .	17
3.3. Parte SW . . . . .	17
3.3.1. Búsqueda lineal . . . . .	18
3.3.2. Búsqueda en Arbol unibit . . . . .	18
3.3.3. Cache . . . . .	19
<b>4. Implementación</b>	<b>20</b>
<b>5. Resultados</b>	<b>21</b>
5.1. Caso Algoritmos únicamente . . . . .	21
5.2. Caso loopback . . . . .	22
5.3. Implementación Completa . . . . .	23
5.4. Cache . . . . .	27

<i>ÍNDICE GENERAL</i>	II
<b>6. Conclusiones</b>	<b>28</b>
<b>Bibliografía</b>	<b>29</b>
<b>Apendices</b>	<b>30</b>
6.1. Configuración del Hardware . . . . .	30

# Índice de figuras

2.1. Diseño preliminar . . . . .	3
2.2. Modelo OSI . . . . .	5
2.3. PDUs en las distintas capas del modelo OSI . . . . .	6
2.4. Relación entre los modelos OSI y TCP/IP . . . . .	7
2.5. Formato de trama IEEE 802.3 . . . . .	8
2.6. Formato de datagrama IP . . . . .	11
2.7. Sistema . . . . .	14
2.8. Extractor de cabeceras . . . . .	15
5.1. Retardo de Búsqueda LLU vs UTL . . . . .	22
5.2. Caso Loopback para 1 y 15 palabras . . . . .	23
5.3. Retardo mínimo LLU . . . . .	24
5.4. Retardo promedio LLU . . . . .	24
5.5. Retardo máximo LLU . . . . .	25
5.6. Retardo mínimo UTL . . . . .	25
5.7. Retardo promedio UTL . . . . .	26
5.8. Retardo máximo UTL . . . . .	26

# Índice de cuadros

## Capítulo 1

# Introducción

## Capítulo 2

# Sistema

En este capítulo se introduce brevemente una serie de conceptos que fueron utilizados para la realización del presente proyecto integrador. No se pretende que el lector alcance una comprensión exhaustiva de los mismos, sino que tenga las herramientas necesarias para la correcta interpretación de los capítulos posteriores. De manera paralela se introducen los bloques básicos que formaran parte del sistema planteado.

### 2.1. Sistemas Embebidos y Dispositivos Lógicos programables

Un Sistema embebido es una combinación de hardware y software diseñado para realizar funciones dedicadas, generalmente en tiempo real. En algunos casos los sistemas embebidos no actúan de manera independiente y se encuentran integrados en un sistema o producto mayor. En la actualidad el 98 % de los microprocesadores fabricados tienen como destino algún sistema embebido mientras que solo el 2 % se destina a microprocesadores de propósito general.

El campo de aplicación para los sistemas embebidos es muy variado, desde dispositivos portátiles como reproductores MP3 o teléfonos celulares, hasta sistemas de control en centrales nucleares. No es posible caracterizar los componentes exactos de un sistema embebido ya que existen una gran cantidad de configuraciones posibles, pero dentro de los componentes fundamentales que se encuentran en la mayoría de ellos están:

- Microprocesador
- Memoria RAM

- Periféricos para Captura de datos y de Comunicación.

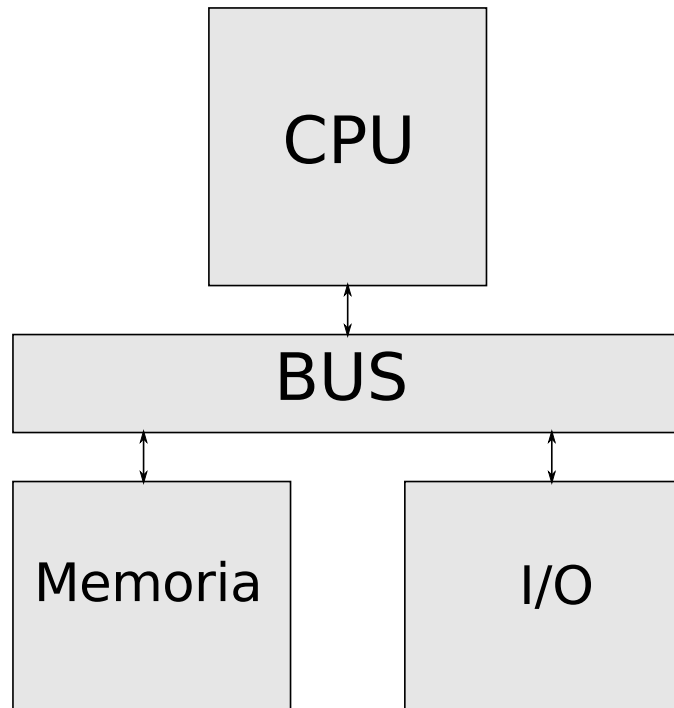


Figura 2.1: Diseño preliminar

El sistema embebido que será generado a partir de este proyecto no será la excepción y contará al menos con los componentes anteriormente nombrados. En la Figura 2.1 es posible ver el diseño preliminar del hardware de nuestro sistema.

### 2.1.1. Dispositivos Lógicos Programables

Los dispositivos lógicos pueden ser clasificados en dos categorías, fijos y programables. Los fijos son permanentes, están preparados para realizar una o una variedad específica de funciones y una vez manufacturados no pueden ser modificados. En cambio, los dispositivos lógicos programables, de ahora en adelante referenciados como PLDs, ofrecen la posibilidad de ser reprogramados en cualquier momento con cualquier función lógica que el usuario requiere y que sea soportado por el dispositivo en cuestión.



Existen dos grandes tipos de PLDs, FPGAs y CPLDs. Los CPLDs ofrecen una capacidad lógica pequeña, pero con unas características de temporización predecibles lo que los hace dispositivos ideales para aplicaciones de control y cualquier otra tarea de tiempo real. Además su consumo de potencia reducido y su bajo costo los posicionan muy bien en el campo de los dispositivos portátiles. Por otro lado las FPGAs ofrecen una mayor densidad lógica y una mejor prerrománica. Actualmente es posible encontrar hasta 2 Millones de celdas lógicas en una FPGA comercial. Además estos dispositivos ofrece módulos embebidos como trancéptores, memoria o microprocesadores. Todo esto le permite a las FPGAs ser usadas en una amplia variedad de aplicaciones como procesamiento de datos, instrumentación, telecomunicaciones y procesamiento de señales.

(¡Aclaro que en este proyecto vamos a usar una FPGA?)

### 2.1.2. Sistemas embebidos en Logica Reprogramable

La tecnologia que forma parte de las FPGA esta disponible desde mediados de los 80. Inicialmente eran usadas en su mayoría como contenedores de la logica de interconexion que rodea a aplicaciones de microprocesadores. En los ultimos años las FPGA se utilizaron para el procesamiento de señales y como una alternativa a los DSP de proposito general.

Actualmente existe un interes particular por el uso de las FPGA como plataforma para sistemas embebidos, especialmente en aplicaciones que no justifican el Costo de un ASIC.

## 2.2. Redes de Computadoras

### 2.2.1. Modelo OSI

Es el modelo de red descriptivo creado por la Organización Internacional para la Estandarización en el año 1984. Sirve como marco de referencia para la definición de arquitecturas de interconexión de sistemas de comunicaciones.

Se basa en el concepto de *capa*: Un conjunto de rutinas (y en algunos casos, hardware) que cumplen una serie de funciones determinadas. Cada capa ofrece servicios a las q se ubican por encima y hace uso de servicios ofrecidos por las de abajo.

El modelo está conformado por las siguientes capas:

- Aplicación: Representa el punto de acceso de las aplicaciones que hacen uso del esquema de transmisión de datos.

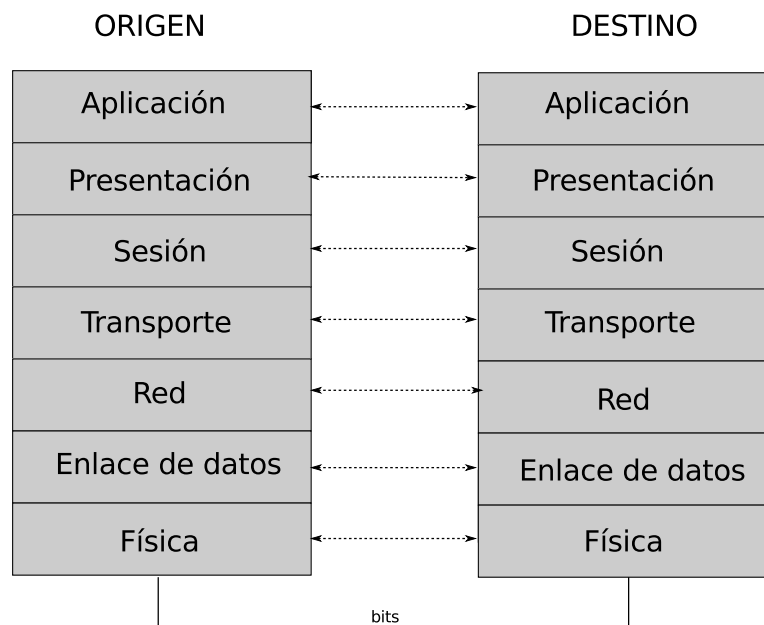


Figura 2.2: Modelo OSI

- **Presentación:** Relacionada con la representación de los datos.
- **Sesión:** se encarga de mantener y controlar el enlace establecido entre dos computadores que están transmitiendo datos.
- **Transporte:** encargada de efectuar el transporte de los datos (que se encuentran dentro del paquete) de la máquina origen a la de destino, independizándolo del tipo de red física que se esté utilizando.
- **Red:** Se encarga de identificar el enrutamiento existente entre una o más redes.
- **Enlace de datos:** se ocupa del direccionamiento físico, de la topología de la red, del acceso al medio, de la detección de errores, de la distribución ordenada de tramas y del control del flujo.
- **Física:** se encarga de las conexiones físicas de la computadora hacia la red, tanto en lo que se refiere al medio físico como a la forma en la que se transmite la información.

### Unidad de datos del protocolo

Es un bloque de datos que cada capa utiliza para el intercambio de información con su par en el sistema destino. Suele denominarse PDU, por las siglas en inglés de *Protocol Data Unit*.

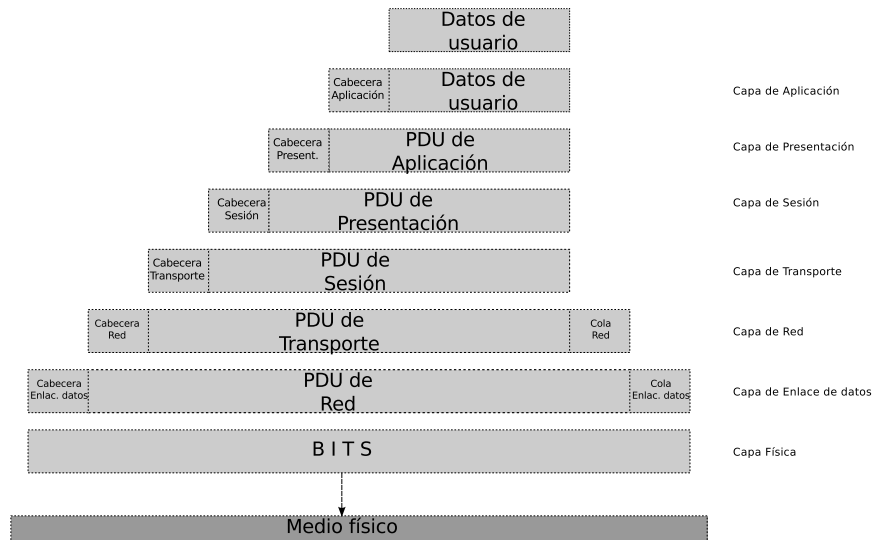


Figura 2.3: PDUs en las distintas capas del modelo OSI

Cuando llega la información por parte del usuario, la capa de aplicación le agrega información de control y se conforma la PDU de dicha capa, la cual es transferida a la siguiente, que va a hacer lo mismo. De esta manera, cada capa agrega información a la PDU recibida de la anterior y transfiere la PDU resultante hacia la de abajo. Esto se repite hasta llegar al nivel físico, en el cual la información se transmite desde el sistema origen hacia el sistema destino en forma de bits.

Una vez que los datos han llegado a destino, comienza el proceso inverso. Los bits en capa física son transferidos a la capa de enlace de datos, la cual los delimita conformando tramas (PDUs de dicha capa). En base a la información de control, cada capa va transfiriendo su PDU hacia arriba, hasta que los datos llegan a la aplicación de destino. Se dice que la comunicación entre capas pares es transparente, ya que cada una de ellas no es consciente de los detalles de la implementación de las capas inferiores, tanto en el sistema origen como en el sistema destino. La figura 2.2 muestra este concepto.

### 2.2.2. TCP/IP

Es un conjunto de protocolos de red en los que se basa Internet y que permiten la transmisión de datos entre computadoras. Se le denomina simplemente TCP/IP, en referencia a los dos protocolos más importantes que la componen: Protocolo de Control de Transmisión (TCP) y Protocolo de Internet (IP).

#### Relación con el modelo OSI

TCP/IP puede describirse como un modelo de capas al igual que OSI. Sin embargo, éste último es más bien una abstracción teórica, que sirve como referencia, mientras que TCP/IP es una implementación práctica que cuenta con 5 capas en vez de 8.

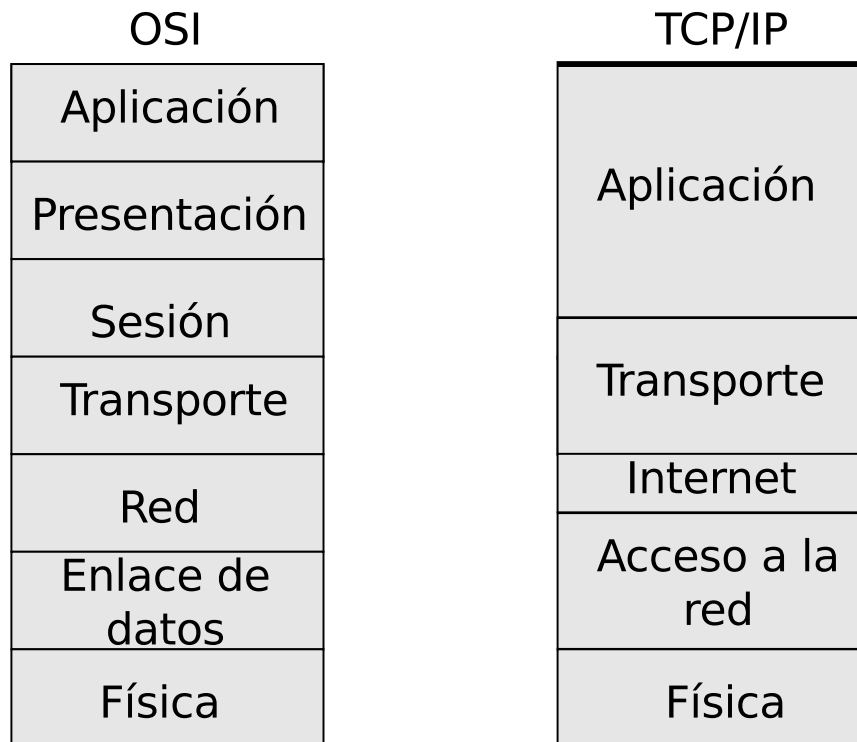


Figura 2.4: Relación entre los modelos OSI y TCP/IP

- Aplicación: Contiene toda la lógica necesaria para posibilitar las distintas aplicaciones de usuario.

- Transporte: Encargada de garantizar que todos los datos se entreguen en forma fiable, esto es, que los datos lleguen a la aplicación de destino en el mismo orden en que fueron enviados. El protocolo más utilizado a tal fin es TCP (Transfer Control Protocol).
- Internet: Provee una serie de procedimientos que permite que los datos atraviesen las distintas redes interconectadas. El protocolo IP (Internet protocol) se utiliza en esta capa para ofrecer el servicio de encaminamiento a través de varias redes.
- Acceso a la red: Es responsable del intercambio de datos entre el dispositivo y la red a la cual está conectado.
- Física: Define la interfaz física entre el dispositivo de transmisión y la red. (Análoga a la capa física en el modelo OSI).

### 2.2.3. Ethernet

Ethernet es un estándar de transmisión de datos para redes de área local. El mismo define las características del cableado y señalización en capa física, así como también el formato de trama en capa de enlace de datos.

#### Formato de trama

Preámbulo	Comienzo de trama	Dirección MAC de destino	Dirección MAC de origen	Longitud / Tipo	Payload	Relleno	Sec. comprob. trama
-----------	-------------------	--------------------------	-------------------------	-----------------	---------	---------	---------------------

Figura 2.5: Formato de trama IEEE 802.3

La trama Ethernet definida en el estándar original IEEE 802.3 contiene los siguientes campos

- Preámbulo: Es una secuencia de 56 bits que tiene 1 y 0 alternados que son utilizados para sincronización. Estos sirven para detectar la presencia de señal y para ir leyendo la señal antes que la trama de datos arrive.
- Delimitador de comienzo de trama: Secuencia de 8 bits que tiene la configuración 10101011 que indica el comienzo de una trama.
- Direcciones MAC de origen y destino : La dirección de destino identifica la estación o las estaciones que reciben el cuadro. La dirección de

fuelle identifica la estación que ha originado la trama. Una dirección de destino que tiene todos sus bits igual a 1 se refiere a que la trama es enviado a todas las estaciones de la LAN. Ocupan 6 bytes.

- Longitud / tipo: Si el valor de este campo es menor o igual que 1500 indica el número de bytes que contiene el campo *Payload*. Si el valor de este campo es mayor o igual a 1536, indica el tipo de protocolo de la capa MAC. Es un campo de 2 bytes.
- Payload: Este campo contiene los datos transferidos. El largo máximo de este campo es 1500 bytes. Si la medida del campo es menor de 46 bytes es necesario usar el campo *relleno* para llevar el tamaño de la trama hasta el largo mínimo.
- Relleno: En este campo se agregan los bytes de datos extra para llevar el largo del cuadro hasta su tamaño mínimo. El mínimo largo de trama de Ethernet es de 64 bytes desde el campo de la dirección de destino MAC hasta el campo Frame Check Sequence.
- Secuencia de comprobación de trama: Este campo contiene el valor de 4 bytes del chequeo cíclico redundante (CRC) usado para el chequeo de errores. Cuando una estación arma un cuadro MAC esta realiza el calculo del CRC en todos los bits desde la dirección de destino MAC hasta el campo *Relleno* (esto es, todos los campos excepto el Preámbulo, el delimitador de comienzo de trama y secuencia de comprobación de trama). El valor se guarda en este campo y se transmite como parte de la trama. Cuando el cuadro es recibido por la estación de destino, ésta realiza un chequeo idéntico. Si el valor calculado no es igual al valor en este campo, se asume que un error a ocurrido durante la transmisión y se descarta la trama.

#### 2.2.4. Protocolo IP

Es un protocolo no orientado a conexión (esto es, establece una comunicación entre dos puntos finales de una red en los que un mensaje puede ser enviado desde un punto final a otro sin acuerdo previo), para la comunicación de datos, a través de una red de paquetes conmutados no fiable y de mejor entrega posible sin garantías.

IP no provee ningún mecanismo para determinar si un paquete alcanza o no su destino y únicamente proporciona seguridad (mediante checksums o sumas de comprobación) de sus cabeceras y no de los datos transmitidos.

Por lo tanto, la seguridad de éstos queda a cargo de algún mecanismo de capa superior.

### Fragmentación

La unidad máxima de transferencia (Maximum Transfer Unit - MTU) se define como el tamaño en bytes de la unidad de datos más grande que puede enviarse usando un protocolo de comunicaciones. Para el caso del protocolo IP este valor es de 64 KBytes. muy pocos protocolos o tecnologías a nivel de enlace admiten enviar tramas de semejante tamaño. Normalmente el nivel de enlace no fragmenta<sup>3</sup>, por lo que tendrá que ser IP el que adapte el tamaño de los datagramas para que quepan en las tramas del nivel de enlace; por tanto en la práctica el tamaño máximo del datagrama viene determinado por el tamaño máximo de trama característico de la red utilizada.

En este contexto, pueden distinguirse 2 tipos de fragmentación:

- Fragmentación en ruta: se produce cuando un datagrama es creado por un host en una red con un valor determinado de MTU y en su camino hacia el host de destino ha de pasar por otra red con una MTU menor. En estos casos el router que hace la transición a la red de MTU menor ha de fragmentar los datagramas para que no excedan el tamaño de la nueva red.
- Fragmentación en origen: se produce como consecuencia del diseño de la aplicación (es decir, cuando ésta trabaja con bloques de datos mayores al MTU del protocolo de enlace de datos).

### Datagrama IP

La PDU del protocolo IP se denomina *datagrama IP* y se compone de los siguientes campos:

- Version: Indica la version del protocolo.
- Longitud de la cabecera: Longitud de la cabecera expresada en palabras de 32 bits.
- Tipo de servicio: especifica los parámetros de fiabilidad, prioridad, retardo y rendimiento.
- Longitud total: longitud total del datagrama en Bytes.

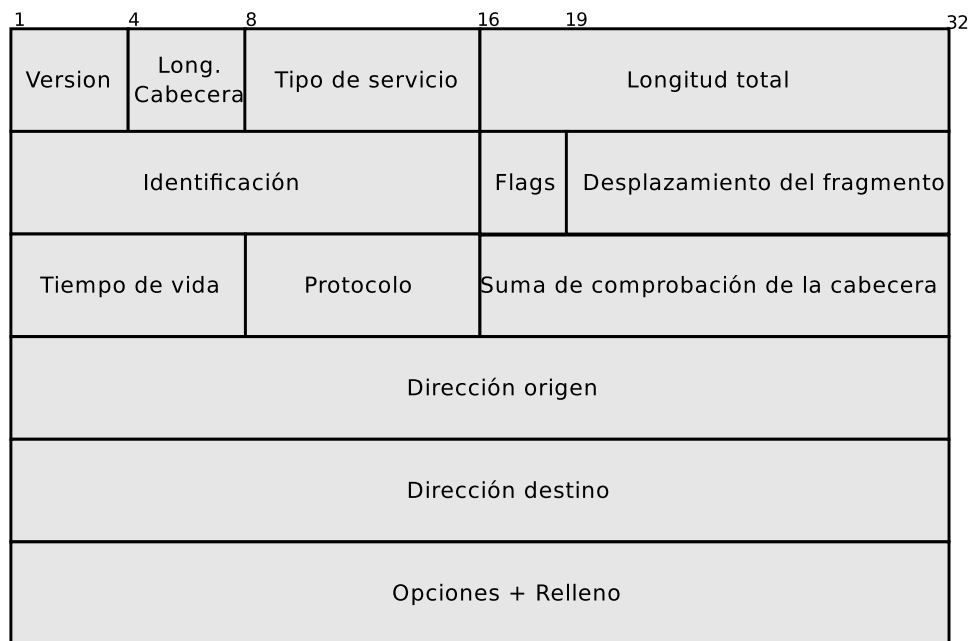


Figura 2.6: Formato de datagrama IP

- Identificador: un número de secuencia que, junto a la dirección origen y destino y el protocolo usuario, se utiliza para identificar de forma unívoca al datagrama.
- Flags: Son 3 bits de los cuales solo 2 están definidos. El bit de *no fragmentación* prohíbe la fragmentación cuando está puesto a 1. El bit de *Más datos* se utiliza para fragmentación y reensamblado.
- Desplazamiento del fragmento: indica el lugar donde se sitúa el fragmento dentro del datagrama original, medido en unidades de 64 bits.
- Tiempo de vida: En cada router se decrementa en 1 unidad. Tiene como fin evitar que un datagrama se quede dando vueltas para siempre en la red.
- Protocolo: especifica a que protocolo del nivel de transporte corresponde el datagrama.
- Suma de comprobación de la cabecera: Es el complemento a uno de la suma en complemento a uno de todas las palabras de 16 bits de la cabecera.



- Dirección origen: Codificada para permitir una asignación variable de bits para especificar la red y el sistema final conectado a la red especificada.
- Dirección destino: Igual que el campo anterior.
- Opciones: Contiene las opciones solicitadas por el usuario que envía los datos.
- Relleno: Se usa para asegurar que la cabecera del datagrama tenga una longitud múltiplo de 31 bits.
- Datos: Debe tener una longitud múltiplo de 8 bits.

### Dirección IP

Es un número de 32 bit que identifica un dispositivo dentro de una red que utilice el protocolo IP. Las direcciones IP se suelen representar por cuatro números decimales separados por puntos, que equivalen al valor de cada uno de los cuatro bytes que componen la dirección.

Como ocurre en la mayoría de las redes las direcciones IP tienen una estructura jerárquica. Una parte de la dirección corresponde a la red, y la otra al host dentro de la red. Cuando un dispositivo de enrutamiento recibe un datagrama por una de sus interfaces compara la parte de red de la dirección con las entradas contenidas en sus tablas (que normalmente sólo contienen direcciones de red, no de host) y envía el datagrama por la interfaz correspondiente.

En el diseño inicial de Internet se reservaron los ocho primeros bits para la red, dejando los 24 restantes para el host; se creía que con 254 redes habría suficiente para la red experimental de un proyecto de investigación del Departamento de Defensa americano. Pronto se vio que esto resultaba insuficiente, por lo que se reorganizó el espacio de direcciones reservando unos rangos para definir redes más pequeñas. El resultado de esa reorganización es lo que hoy se conoce como las redes clase A, B y C:

- Una red de clase A se caracteriza por tener a 0 el primer bit de dirección; el campo red ocupa los 7 bits siguientes y el campo host los últimos 24. Puede haber hasta 128 redes de clase A con 16777216 direcciones cada una.
- Una red de clase B tiene el primer bit a 1 y el segundo a 0; el campo red ocupa los 14 bits siguientes, y el campo host los 16 últimos. Puede haber 16384 redes clase B con 65536 direcciones cada una.

- Una red clase C tiene los primeros tres bits a 110; el campo red ocupa los siguientes 21 bits, y el campo host los 8 últimos. Puede haber hasta 2097152 redes clase C con 256 direcciones cada una.

Para indicar qué parte de la dirección corresponde a la red y qué parte al host se suele utilizar una notación denominada máscara, consistente en poner a 1 los bits que corresponden a la parte de red y a 0 los que corresponden a la parte host. Así por ejemplo diremos que una red clase A tiene una máscara 255.0.0.0, lo cual equivale a decir que los ocho primeros bits especifican la red y los 24 restantes el host. Análogamente decimos que una red clase B tiene una máscara 255.255.0.0 y una clase C una máscara 255.255.255.0.

Las máscaras permiten extraer de forma sencilla la parte de red o de host de una dirección. Por ejemplo un router que ha de enviar un datagrama puede realizar un AND entre la dirección de destino y la máscara correspondiente, con lo que extraerá la parte de red de la dirección.

Existen además direcciones (no redes) clase D cuyos primeros cuatro bits valen 1110. Las direcciones clase D se utilizan para definir grupos multicast. El grupo queda definido por los 28 bits siguientes. Puede haber hasta 268435456 direcciones multicast en Internet. Las direcciones clase D nunca puede aparecer como direcciones de origen de un datagrama.

Por último, la clase E, que corresponde al valor 1111 en los primeros cuatro bits, no se utiliza de momento y está reservada para usos futuros.

### 2.2.5. Búsqueda del prefijo más largo

(... pendiente ...)

\*-\*-\* Esto queda como reserva de datos que despues vmaos a usar\*\*\*\*

Uno de los mayores cuellos de botella en los routers lo constituye el cómputo de del prefijo más largo para cada paquete entrante.

Implementar ciertos esquemas de clasificacion en hardware se ve limitado principalmente debido a 2 factores: La cantidad de memoria requerida y lla complejidad creciente de los mismos.

En tanto crece el trafico en las redes se ve la necesidad de implementar esquemas mas complejos de clasificacion.

Dichos esquemas tienen una implementación más sencilla en software. Dichas implementaciones estan ampliamente difundidas en la web. Esto hace innecesario tener que “adaptarlas” a un HDL. El paso es trivial (corregir esta redaccion)

El sistema implementado en el presente trabajo consta de un microprocesador NIOS2/f interconectado mediante un bus Avalon-MM a 5 com-

ponentes:

- PLL
- JTAG UART
- Interfaz con SDRAM
- Timer
- Módulo extractor de cabeceras

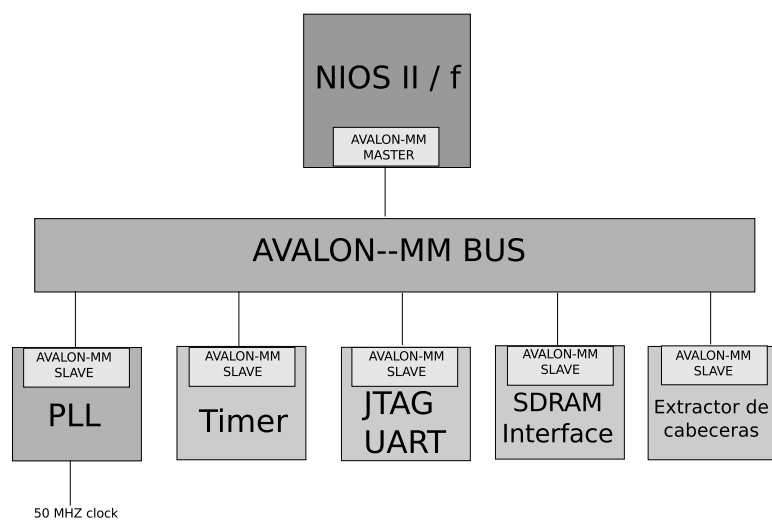


Figura 2.7: Sistema

A su vez, éste último está conformado por un generador de paquetes Ethernet conectado a una FIFO. Esta está a su vez conectada a un módulo denominado delay buffer, que está conectado al módulo uplink y al write output.. Uplink a su vez está conectado también a write output.

Sobre el hardware descrito anteriormente se ejecuta un software de clasificación de paquetes, que se encuentra almacenado en una memoria RAM.

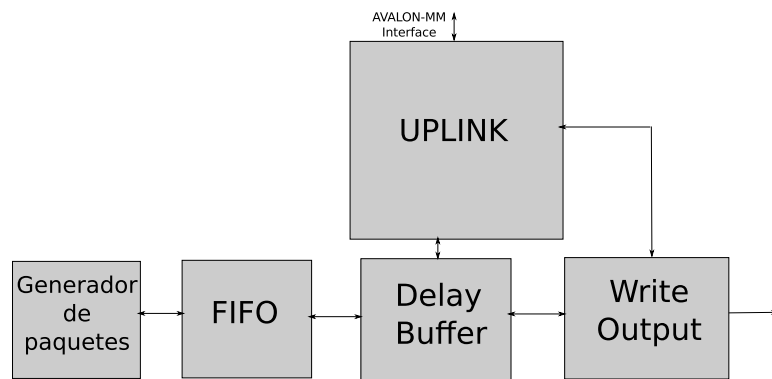


Figura 2.8: Extractor de cabeceras

## Capítulo 3

# Arquitectura

### 3.1. Parte HW

#### 3.1.1. Componentes del sistema

##### **NIOS II**

Es un microprocesador softcore. Esto significa que el mismo es instanciado usando la lógica propia de la FPGA. En este diseño, ejecuta un software de clasificación de paquetes que se almacena en una memoria SDRAM en la placa de desarrollo.

##### **PLL**

Este módulo toma como entrada una señal de clock de 50 MHz de frecuencia y la bifurca en 2: Una de ellas alimentará al módulo que oficia de interfaz con la memoria SDRAM y la otra hará lo propio con el resto de los componentes del sistema. Estas señales están defasadas entre sí 60° con el fin de evitar el skew producido por la diferencia entre la llegada del clock a la memoria y al resto del sistema.

##### **Timer**

Módulo utilizado para llevar estadísticas de retardo dentro del software.

##### **JTAG UART**

Este módulo permite interactuar con el sistema vía USB. Esto implica tanto la configuración de la FPGA, como también la posibilidad de ver la

ejecución del software en una consola.

### **Interfaz con SDRAM**

Tiene la función de interconectar al sistema con la memoria SDRAM de la placa de desarrollo.

### **Extractor de cabeceras**

Este módulo extrae cabeceras de paquetes Ethernet y las envía al software, donde son procesadas y devueltas. Su funcionamiento se detallará a continuación.

#### **3.1.2. Módulo extractor de cabeceras**

(..esta parte completala vos...)

### **3.2. Parte SW**

### **3.3. Parte SW**

Se implementaron 2 algoritmos de clasificacion: Busqueda lineal y Busqueda en árbol unibit.

El software utilizado para realizar las pruebas consistió en 2 proyectos por separado. Uno para cada tipo de búsqueda en la tabla.

El mismo fue desarrollado en lenguaje c++, por presentar éste ciertas facilidades para las implementaciones llevadas a cabo. Puntualmente se sacó ventaja de un STL container (list) para implementar la búsqueda lineal. Esta plantilla cuenta con, entre otras cosas, la posibilidad de ordenar la lista con sólo una llamada a función.

Para efectuar el intercambio de datos con el hardware se hizo uso de las macros IOWR e IORD, las cuales escriben y leen respectivamente los datos hacia/desde un componente conectado al bus Avalon MM. La razón de haber usado dichas macros yace en el hecho de que las mismas no son cacheadas". Esta característica se torna indispensable en este diseño, ya que en el mismo no se puede leer un dato sin saber si está verdaderamente disponible en el bus.

### 3.3.1. Búsqueda lineal

Se implementó en una lista enlazada, creada a partir del template list de c++. Los nodos de la lista contienen 3 campos:

- Dirección de red (entero de 32 bit sin signo)
- Máscara de red (entero de 32 bit sin signo)
- Identificador de decisión (entero de 32 bit con signo)

Como se le dió prioridad a los prefijos de red más largos, se debió sobrecargar el operador de comparación (`<`) para que la función sort pudiese ordenar en base a la longitud de máscara. De esa manera, los nodos que contenían valores de máscara más grandes quedaban en las primeras posiciones de la lista.

Cuando la función encargada del lookup recibe una dirección IP de destino, realiza los siguientes pasos:

- Coloca un iterador al comienzo de la lista.
- Realiza un AND con el valor de máscara del nodo que está siendo apuntado. Si el resultado de la operación es igual al valor de dirección de red de dicho nodo, entonces se retorna con el valor identificador de decisión. En otro caso, continúa la búsqueda en el siguiente nodo.

### 3.3.2. Búsqueda en Arbol unibit

Se implementó una clase en la cual se definieron las características de los nodos del arbol, como así tambien las operaciones de inserción y búsqueda. Cada nodo cuenta con los siguientes campos:

- gw: es un identificador de la decisión a tomar. En los nodos no asociados a una decision, tiene el valor estipulado en la macro NONE.
- zero / one: Son punteros a nodo, asociados a los bits 0/1 del prefijo que se esté leyendo.

En este contexto, pueden existir 2 tipos de nodo:

- Común: Está asociado a la macro NONE. La misma lo diferencia del nodo decisión.

- Decisión: Contiene en el campo gw un valor que identifica a la decisión a tomar.

El algoritmo de búsqueda toma como entrada la dirección IP de destino del paquete a clasificar. Luego de ello, va haciendo un testeo bit a bit de la misma, partiendo con un puntero de recorrido desde el nodo raíz. Si el bit de la dirección es 0 y el puntero zero está apuntando hacia algún nodo, el puntero de recorrido se mueve al nodo apuntado por el puntero zero. En caso contrario, se mueve al nodo apuntado por one (En caso de que exista). Esto se repite nodo a nodo, hasta que:

- El puntero de recorrido queda varado en un nodo decision, con lo cual se retorna el valor de gw. Ó
- El puntero de recorrido queda varado en un nodo común.

Contemplando esta última posibilidad, el algoritmo hace que en cada nodo se chequee si se trata de un nodo decisión. En dicho caso, se almacena el campo gw en una variable y se continua el recorrido. Si se da un caso en el cual el nodo de recorrido queda apuntando a un nodo comun y luego de testear un bit se determina que el mismo no tiene un nodo asociado (es decir, que alguno de los punteros zero / one esté en NULL) la funcion retorna la variable anteriormente mencionada.

### 3.3.3. Cache

Se implementó una cache directa. La misma consta de una tabla hash de 16 entradas. Las colisiones se resuelven por reemplazo directo. La misma fue testada con ambos algoritmos mencionados anteriormente. Para ello, se agregó una lógica adicional que consistió en:

- Al tomar una direccion IP, chequear primero si el valor de decisión se encuentra en caché.
- Si está, retornar dicho valor.
- En otro caso, efectuar el lookup y almacenar el valor de decisión en caché.



## Capítulo 4

# Implementación

## Capítulo 5

# Resultados

En este capítulo se presentan los datos obtenidos de la ejecución del proyecto bajo ciertas condiciones representativas, con la intención de validar la funcionalidad y también de encontrar los alcances y límites del mismo. Primero se estudiara el tiempo de respuesta de los algoritmos por separado, más tarde el rendimiento en la configuración mas simple, luego el sistema completo bajo condiciones de configuración varias y por ultimo el estudio de la mejora introducida por el uso de la cache.

### 5.1. Caso Algoritmos únicamente

Con la intención de obtener un gráfico que represente el rendimiento de los dos algoritmos implementados, se medirá el retardo de búsqueda en función de la posición en la tabla de enrutamiento, se realizaran las pruebas de manera independiente al modulo extracto de cabeceras. En el eje de las abscisas se expresa la ubicación en una tabla de 100 elementos y en las ordenadas se puede observar el tiempo de búsqueda en ciclos de reloj.

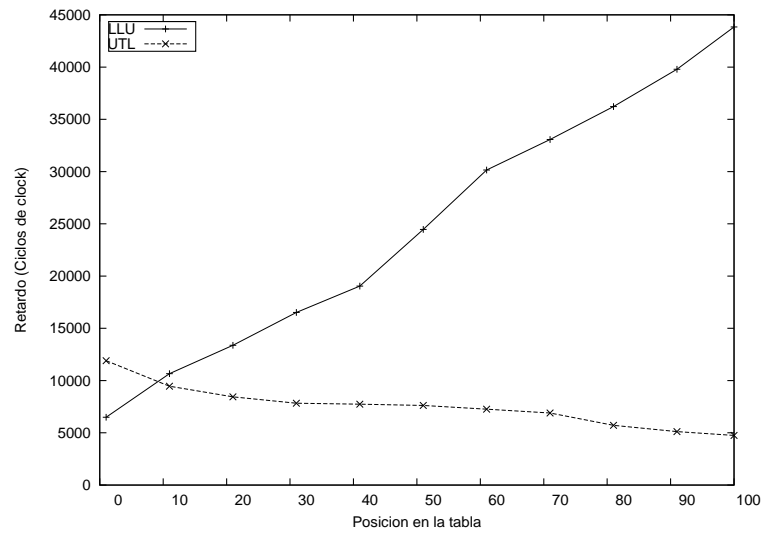


Figura 5.1: Retardo de Búsqueda LLU vs UTL

## 5.2. Caso loopback

Se estudia del caso loopback a los fines de encontrar los limites superiores de nuestro diseño. En este, el software solo se limita a recibir los datos e inmediatamente después confirma el procesamiento y envía los resultados de regreso al hardware. Se realizan las pruebas correspondientes para las dos versiones de Uplink. En el eje de las abscisas es posibles ver la cantidad de paquetes por segundo, el origen corresponde a la mayor velocidad a la que es posible transmitir sin perdidas. En las Ordenadas se puede observar la cantidad de paquetes perdidos en valores porcentuales, para obtener esta métrica se proceso una cantidad constante de paquetes, 9000, y luego se contrasto este valor con un contador global que el Generador estampa en la ultima palabra de cada paquete. Así se calculo la cantidad paquetes perdidos, sobre la cantidad total de paquetes generados. Este mismo sistema es el usado en todos los gráficos posteriores.

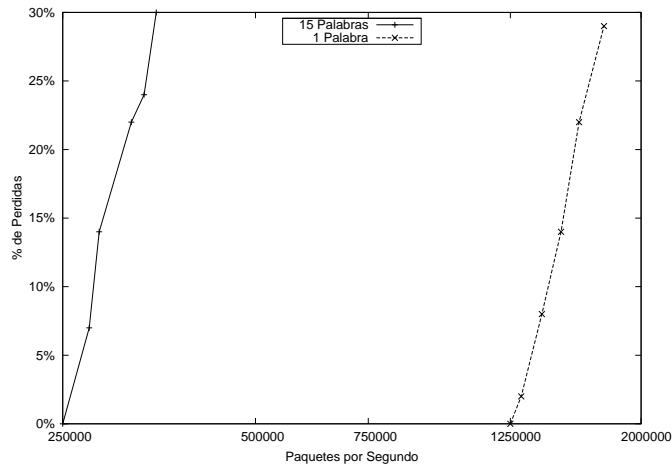


Figura 5.2: Caso Loopback para 1 y 15 palabras

### 5.3. Implementación Completa

Se verificara el rendimiento del sistema implementado de manera completa. Se consideran seleccionaran tres puntos en las curvas que indican los tiempos de accesos del algoritmos, un punto mínimo que corresponde al menor tiempo de acceso, un punto promedio que ejercita 10 entradas equidistantes a lo largo de la tabla y un punto máximo que indica el peor tiempo de acceso posible para un Algoritmo dado.

#### Linear Lookup

En la figura 5.3 se puede observar que la diferencia en la cantidad de paquetes que pueden ser transmitidos sin errores en el mejor caso entre el modulo que envía una palabra al procesador y el que envía toda la cabecera, es considerable, mientras que a medida que aumenta la profundidad de búsqueda en la tabla estos valores convergen, como es posible ver en la figuras 5.4 y 5.5, lo que era esperable ya que para accesos muy lentos a la tabla el retardo introducido por el Hardware se vuelve despreciable.

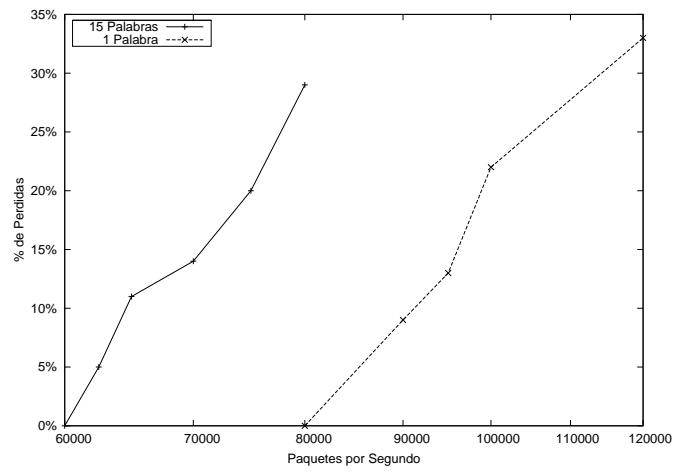


Figura 5.3: Retardo mínimo LLU

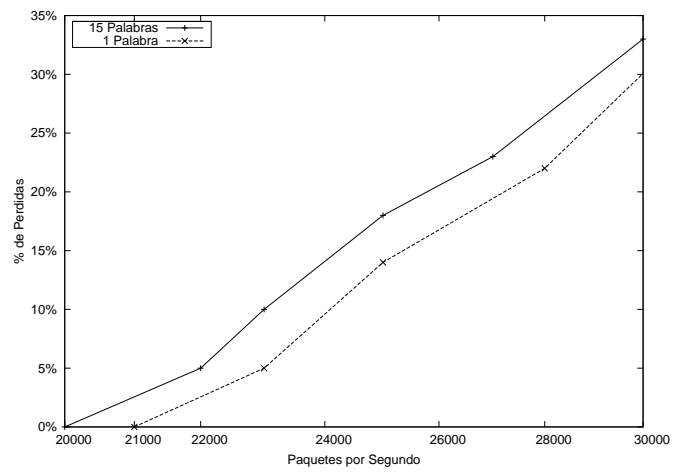


Figura 5.4: Retardo promedio LLU

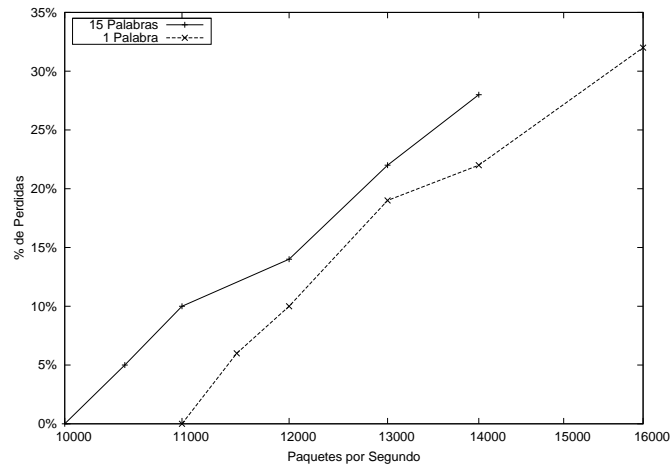


Figura 5.5: Retardo máximo LLU

### Unibit Trie Lookup

En los gráficos que corresponden al Unibit Trie Lookup es posible observar que existe una menor diferencia entre la máxima cantidad de paquetes que pueden ser transmitidos sin error en cada uno de los 3 puntos elegidos. Así como también la diferencia entre enviar el paquete entero y solo la IP destino se reduce, lo que da la pauta de que cuando el tiempo de acceso es uniforme el impacto de la mejoras del Hardware tiende a ser menor.

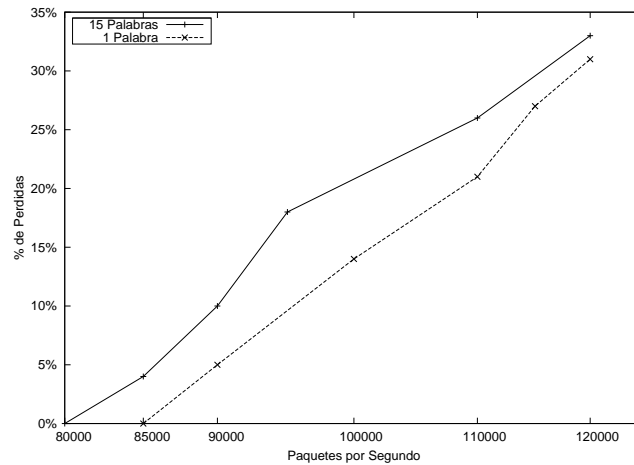


Figura 5.6: Retardo mínimo UTL

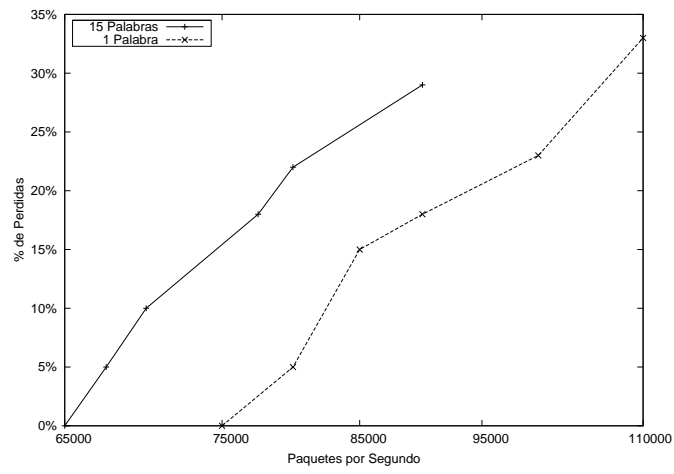


Figura 5.7: Retardo promedio UTL

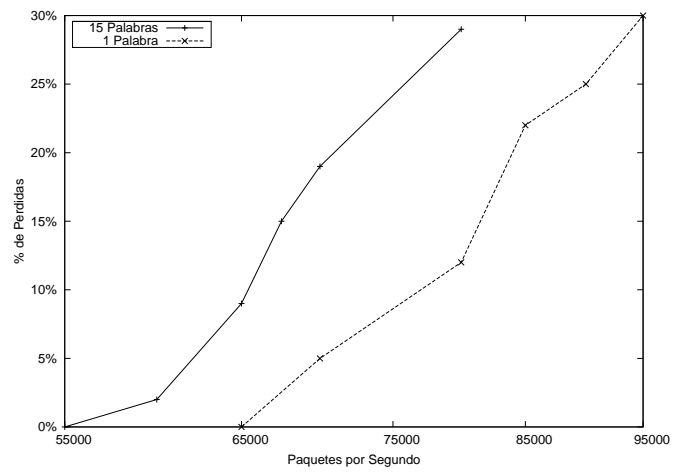


Figura 5.8: Retardo máximo UTL

(Falta la comparativa inter-algoritmos)

## 5.4. Cache

(Falta Mejorar y agregar el grafico) Se probara el funcionamiento del sistema incluyendo la cache implementada en software. Para ello, se efectuara una toma de datos en la cual se compararan 2 sucesiones: la primera de ella resultara en fallos al no estar presente ninguno de los valores.

Puede notarse que, en el caso de que la búsqueda termine en un fallo, se introduce un retardo adicional (si se compara con el escenario en el cual no existe la cache). Ello se debe a la búsqueda que se efectúa en la cache antes de hacerlo propiamente en la tabla de ruteo, tanto en la implementación linked-list como en la implementación unibit-trie.



## Capítulo 6

# Conclusiones

# Bibliografía

# Appendices

## 6.1. Configuración del Hardware

Feature	Description
FPGA	<ul style="list-style-type: none"><li>■ Cyclone II EP2C35F672C6 with EPCS16 16-Mbit serial configuration device.</li></ul>
I/O Interfaces	<ul style="list-style-type: none"><li>■ Built-in USB-Blaster for FPGA configuration</li><li>■ Line In/Out, Microphone In (24-bit Audio CODEC)</li><li>■ Video Out (VGA 10-bit DAC)</li><li>■ Video In (NTSC/PAL/Multi-format)</li><li>■ RS232</li><li>■ Infrared port</li><li>■ PS/2 mouse or keyboard port</li><li>■ 10/100 Ethernet</li><li>■ USB 2.0 (type A and type B)</li><li>■ Expansion headers (two 40-pin headers)</li></ul>

Memory	<ul style="list-style-type: none"> <li>■ 8 MB SDRAM, 512 KB SRAM, 4 MB Flash</li> <li>■ SD memory card slot</li> </ul>
Displays	<ul style="list-style-type: none"> <li>■ Eight 7-segment displays</li> <li>■ 16 x 2 LCD display</li> </ul>
Switches and LEDs	<ul style="list-style-type: none"> <li>■ 18 toggle switches</li> <li>■ 18 red LEDs</li> <li>■ 9 green LEDs</li> <li>■ Four debounced pushbutton switches</li> </ul>
Clocks	<ul style="list-style-type: none"> <li>■ 50 MHz clock</li> <li>■ 27 MHz clock</li> <li>■ External SMA clock input</li> </ul>

La FPGA incluida en la placa es una Cyclone II EP2C35 cuyas especificaciones son:

Feature	Description
LEs	33216
Total RAM bits	483840
Embedded multipliers	35
PLLs	4
Maximum user I/O pins	475